

ارتعاشات آزاد پوسته‌های استوانه‌ای تقویت شده طولی با خارج از مرکزی غیر یکنواخت

علی اصغر جعفری^{۱*}، مرتضی باقری^۲

۱- استادیار دانشکده مهندسی مکانیک، دانشگاه صنعتی خواجه نصیرالدین طوسی

۲- مربی دانشکده هوافضا، دانشگاه هوایی شهید ستاری و دانشجوی دکتری مهندسی مکانیک، دانشگاه خواجه نصیرالدین طوسی

* تهران، صندوق پستی ۳۳۸۱ - ۱۶۷۶۵

jafari@me.kntu.ac.ir

(دریافت مقاله: خرداد ۱۳۸۲، پذیرش مقاله: تیر ۱۳۸۳)

چکیده - در این تحقیق ارتعاشات آزاد پوسته‌های استوانه‌ای تقویت شده طولی با تکیه‌گاه ساده با استفاده از روش ریتز و در نظر گرفتن تقویت‌کننده‌ها به صورت المانهای مجزا بررسی شده است. خواص کششی و خمشی پوسته بر اساس تئوری سندرز و همچنین اثر کشش و خمش و پیچش تقویت‌کننده‌ها در محاسبه انرژی کرنشی وارد شده است. از طرف دیگر اینرسی انتقالی در سه جهت برای پوسته و تقویت‌کننده‌ها و نیز اینرسی دورانی برای تقویت‌کننده‌ها در محاسبه انرژی جنبشی در نظر گرفته شده است. توابع تغییر مکان به صورت چند جمله‌ای در نظر گرفته شده و نتایج فرکانسهای طبیعی برای استرینگر با ارتفاع یکنواخت با مقادیر تجربی و تحلیلی موجود در مراجع دیگر مقایسه شده که سازگاری خوبی مشاهده گردیده است. بازای جرم ثابت برای تقویت‌کننده‌ها، اثر خارج از مرکزی غیر یکنواخت برای سه نوع توزیع ارتفاع تقویت‌کننده‌ها از نوع مرتبه اول و مرتبه دوم و مرتبه سوم بررسی و درصد تغییرات فرکانسهای طبیعی بویژه فرکانس پایه، اندازه گیری شده است.

کلیدواژگان: پوسته استوانه‌ای؛ تقویت‌کننده طولی؛ استرینگر؛ ارتعاش آزاد؛ فرکانس طبیعی.

۱- مقدمه

قابل توجه در طراحی این نوع سازه‌ها است. از طرف دیگر با توجه به نیاز روزافزون به طراحی سازه‌های سبک با استحکام بالا، لازم است نسبت استحکام به وزن پوسته تا حد امکان بالا باشد تا سازه طراحی شده، از دیدگاه صرفه جویی در مصرف مواد، انرژی و هزینه، بهینه باشد. یکی از راههای رسیدن به این هدف، تقویت پوسته با تقویت‌کننده طولی به شکل تیر است.

در صورتی که تعداد تقویت‌کننده‌ها زیاد باشد می‌توان از روش معادل‌سازی پوسته ارتوتروپ و روش متوسط‌گیری سازه را تحلیل کرد. اگر تعداد تقویت‌کننده‌ها کم باشد (فاصله بین تقویت‌کننده‌ها زیاد باشد) یا

شناخت خواص دینامیکی سازه‌های پوسته‌ای، یکی از مسائل مورد توجه طراحان است، زیرا چنین سازه‌هایی کاربردهای زیادی از جمله در هواپیماها، موشکها، زیردریایی‌ها، تانکرها، توربین‌های گازی، تجهیزات حفاری چاههای نفت و کوره‌های دوار دارند. در بیشتر این موارد پوسته تحت بارهای دینامیکی قرار دارد و ممکن است دچار ارتعاش، کماتش و خستگی شود. بنابراین شناخت خصوصیات این سازه‌ها برای پیش‌بینی رفتار دینامیکی سازه و همچنین عمر خستگی سازه ضروری است. فرکانسهای طبیعی و مدهای ارتعاشی، از موارد مهم و

سه جهت و اینرسی چرخشی تقویت‌کننده‌ها در تابع انرژی وارد شده‌اند، اما از اینرسی چرخشی پوسته صرف‌نظر شده است. همچنین زاوه و لی [۴] تحلیل ارتعاشی پوسته استوانه‌ای چند لایه‌ای دوار با تکیه گاه ساده و تقویت‌کننده‌های طولی و محیطی را با استفاده از روش انرژی انجام داده‌اند. اثر تقویت‌کننده‌ها به دو روش مدل‌سازی شده است. یک بار روش متوسط‌گیری و بار دیگر روش المان مجزا استفاده شده است. نتایج به‌دست آمده نشان داده که مدل‌سازی تقویت‌کننده‌ها به‌صورت المان مجزا، پایداری بیشتری دارد و نتایج روش متوسط‌گیری، بشدت به تعداد تقویت‌کننده‌ها حساس بوده و با کاهش تعداد آنها، نتایج دقت کافی نخواهند داشت. ونگ و تیان [۵] با استفاده از روش ریتز، ارتعاشات آزاد پوسته‌های استوانه‌ای تقویت شده با رینگ با شرایط مرزی مختلف را بررسی کرده‌اند. بر خلاف کارهای انجام شده قبلی، در این تحقیق، توزیع موقعیت مکانی و توزیع فاصله خارج از مرکزی رینگها به‌صورت دلخواه و غیر یکنواخت در نظر گرفته شده است. به بیان دیگر فاصله بین تقویت‌کننده‌ها و ارتفاع آنها می‌تواند غیریکسان باشد. در این مقاله، روش [۵] برای پوسته استوانه‌ای تقویت‌شده با استرینگر با خارج از مرکزی غیر یکنواخت به‌کاربرده شده است. به بیان دیگر ارتفاع تقویت‌کننده‌ها در طول پوسته ثابت و یکنواخت نبوده و می‌تواند به‌صورت منحنی با درجه‌ای دلخواه در طول پوسته تغییر کند. قابل ذکر است که کلیه کارهای انجام شده قبلی برای تقویت‌کننده طولی با ارتفاع ثابت بوده و در این مقاله مزایای استفاده از ارتفاع غیر یکنواخت برای تقویت‌کننده طولی را می‌توان مشاهده کرد. ابتدا نتایج فرکانسهای طبیعی به‌دست آمده برای استرینگر با خارج از مرکزی یکنواخت با نتایج تجربی و تحلیلی مراجع دیگر مقایسه و سپس نتایج برای استرینگر با ارتفاع متغیر و غیر یکنواخت ارائه شده است. با ثابت نگاه داشتن جرم تقویت‌کننده‌ها در مقایسه با تقویت حالت یکنواخت، تغییرات

به‌عبارت دیگر فاصله بین آنها بزرگتر از طول موج ارتعاش باشد، سازه را باید به‌صورت ترکیبی از المانهای پوسته و تقویت‌کننده - که هر یک دارای معادلات مخصوص به خود است و توسط معادلات پیوستگی به هم مربوطند - مدل‌سازی کرد. به‌بیان دیگر تقویت‌کننده‌ها را باید به‌صورت المانهای مجزا^۱ در نظر گرفت. از مزایای این روش می‌توان به نبود محدودیت فاصله یا تعداد تقویت‌کننده‌ها، امکان وجود فواصل نامنظم بین تقویت‌کننده‌ها، خارج از مرکزی غیر یکنواخت و امکان یکسان نبودن سطح مقطع و جنس تقویت‌کننده‌ها اشاره کرد.

ایگل و سیوال [۱] اثر تقویت‌کننده‌ها را بر تغییرات فرکانس‌های طبیعی پوسته‌های استوانه‌ای تقویت شده با استرینگر (تقویت‌کننده طولی) و رینگ (تقویت‌کننده محیطی)، با شرایط مرزی مختلف بررسی کرده‌اند. تقویت‌کننده‌ها به‌صورت المانهای مجزا در نظر گرفته شده و از روش انرژی و اصل همپلتون برای به‌دست آوردن معادلات حرکت استفاده شده است. راینهارت و ونگ [۲] ، ارتعاشات آزاد پوسته تقویت شده با استرینگر با تکیه گاه ساده را از روش لاگرانژ بررسی کرده‌اند. استرینگرها به‌صورت المانهایی مجزا مدل شده و در این تحلیل تمامی جمله‌های اینرسی و خمش نامتقارن و تابیدگی^۲ تقویت‌کننده بر اساس تئوری تیر جدار نازک و لاسوو^۳ به معادلات وارد شده و تغییر مکانهای مدال با استفاده از سری فوریه بیان شده‌اند. مصطفی و علی [۳]، تحلیل ارتعاشات آزاد پوسته‌های استوانه‌ای تقویت شده با رینگ و استرینگر و با تکیه گاه ساده را با کاربرد روش ریلی - ریتز انجام داده‌اند. از روش المان مجزا برای مدل‌سازی تقویت‌کننده‌ها استفاده و خمش و کشش پوسته و خواص خمش - کشش و پیچش تقویت‌کننده‌ها ملحوظ شده است. همچنین اینرسی انتقالی پوسته و تقویت‌کننده‌ها در

1. Discrete Elements
2. Wrapping
3. Vlasov

۱-۲- انرژی پوسته

بر اساس تئوری پوسته نازک سندرلز [۶]، انرژی کرنشی خمشی و کششی پوسته بدون در نظر گرفتن تقویت‌کننده‌ها را به صورت زیر می‌توان نوشت:

$$U = \int_0^L \int_0^{2\pi} \left\{ \frac{Eh}{2(1-\nu^2)} \left[\left(\frac{\partial u}{\partial x} \right)^2 + \frac{1}{R^2} \left(\frac{\partial v}{\partial \theta} - w \right)^2 + \frac{2\nu}{R} \left(\frac{\partial u}{\partial x} \right) \left(\frac{\partial v}{\partial \theta} - w \right) + \frac{1-\nu}{2} \left(\frac{\partial v}{\partial x} + \frac{1}{R} \frac{\partial u}{\partial \theta} \right)^2 \right] + \frac{Eh^3}{24(1-\nu^2)} \left[\left(\frac{\partial^2 w}{\partial x^2} \right)^2 + \frac{1}{R^4} \left(\frac{\partial^2 w}{\partial \theta^2} + \frac{\partial v}{\partial \theta} \right)^2 + \frac{2\nu}{R^2} \left(\frac{\partial^2 w}{\partial x^2} \right) \left(\frac{\partial^2 w}{\partial \theta^2} + \frac{\partial v}{\partial \theta} \right) + \frac{2(1-\nu)}{R^2} \left(\frac{\partial^2 w}{\partial x \partial \theta} + \frac{3}{4} \frac{\partial v}{\partial x} - \frac{1}{4R} \frac{\partial u}{\partial \theta} \right)^2 \right] \right\} R d\theta dx \quad (1)$$

در رابطه فوق u, v, w تغییر مکانها در جهات شعاعی، مماسی و طولی بوده و x, θ ، بترتیب مختصات محیطی و طولی است.

با صرف نظر کردن از اینرسی چرخشی، به دلیل نازک بودن پوسته، انرژی جنبشی پوسته از رابطه زیر تبعیت می‌کند:

$$T = \int_0^L \int_0^{2\pi} \left\{ \frac{1}{2} \rho h \left[\left(\frac{\partial u}{\partial t} \right)^2 + \left(\frac{\partial v}{\partial t} \right)^2 + \left(\frac{\partial w}{\partial t} \right)^2 \right] \right\} R d\theta dx \quad (2)$$

۲-۲- انرژی استرینگر

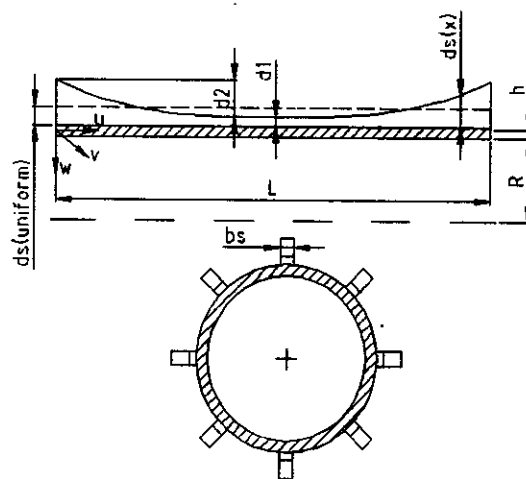
در این تحلیل عرض استرینگر ثابت بوده و ارتفاع آن و در نتیجه خارج از مرکزی آن، در طول پوسته تغییر می‌کند. نحوه تغییرات می‌تواند به صورت تابعی با درجه دلخواه مانند Γ باشد که به صورت طرحواره‌ای در شکل ۱ نشان داده شده است. در این صورت پارامترهای سطح مقطع و ممان‌های سطح نیز تابعی از x خواهند بود.

برای انرژی کرنشی استرینگر زام با در نظر گرفتن اثر کشش، خمش دو محوری و پیچش می‌توان نوشت:

فرکانسهای طبیعی، بخصوص درصد تغییرات فرکانس پایه بررسی و افزایش قابل توجهی در فرکانس پایه مشاهده شد. به عبارت دیگر با طراحی مناسب چگونگی تغییرات ارتفاع تقویت‌کننده‌ها در طول پوسته، به ازای جرم ثابت تقویت‌کننده‌ها - در مقایسه با حالت ارتفاع یکنواخت - به فرکانسهای طبیعی بالاتری می‌توان دست یافت.

۲- مبنای تئوری

هدف، به دست آوردن معادلات حرکت برای یک پوسته استوانه‌ای نازک مطابق شکل ۱ با ضخامت یکنواخت h ، شعاع R ، طول L ، چگالی ρ ، مدول الاستیسیته E ، نسبت پواسون ν و مدول برشی $G = E/2(1+\nu)$ است. این پوسته با تعداد S استرینگر - که در فواصل یکسان قرار گرفته اند - تقویت شده است. استرینگر زام دارای عرض ثابت bs و ارتفاع $ds_r(x)$ است که می‌تواند در طول پوسته متغیر باشد. هر یک از تقویت‌کننده‌ها می‌توانند دارای جنس‌های مختلف و حتی متفاوت با پوسته باشند. نسبت پواسون، مدول برشی، مدول الاستیسیته و چگالی جرمی استرینگر زام، بترتیب با پارامترهای $\rho s_r, E s_r, G s_r, \nu s_r$ مشخص شده‌اند.



شکل ۱ پوسته استوانه‌ای با تقویت‌کننده طولی با ارتفاع غیر یکنواخت

$$es_j(x) = \begin{cases} \frac{h+ds_j(x)}{2} & \text{استرینگر خارجی} \\ 0 & \text{استرینگر بدون خارج} \\ -\frac{h+ds_j(x)}{2} & \text{از مرکزی} \\ & \text{استرینگر داخلی} \end{cases} \quad (V)$$

با توجه به شکل ۱، تغییرات ارتفاع استرینگر بر حسب طول را به صورت زیر می‌توان نوشت:

$$\begin{cases} ds_j(x) = d_{1j} \left(1 + \frac{d_{2j}}{d_{1j}} \left(\frac{2}{L} \left(\frac{L}{2} - x \right) \right)^\Gamma \right) & \leftarrow 0 \leq x \leq \frac{L}{2} \\ ds_j(x) = d_{1j} \left(1 + \frac{d_{2j}}{d_{1j}} \left(\frac{2}{L} \left(x - \frac{L}{2} \right) \right)^\Gamma \right) & \leftarrow \frac{L}{2} \leq x \leq L \end{cases} \quad (A)$$

Γ درجه تابع تغییرات ارتفاع استرینگر در طول پوسته، d_{1j} کمترین ارتفاع استرینگر زام در وسط پوسته و d_{2j} اختلاف بین بیشترین ارتفاع استرینگر زام در دو انتهای پوسته با d_{1j} است.

با جایگذاری روابط ۵ و ۶ و ۷ و ۸ در معادلات انرژی تقویت‌کننده‌ها (معادلات ۳ و ۴)، می‌توان انرژی تقویت‌کننده‌ها را بر حسب مولفه‌های تغییر مکان سطح میانی پوسته بیان کرده و تابع انرژی کل سیستم را به صورت زیر تشکیل داد:

$$F = U + T + \sum_{j=1}^S (Us_j + Ts_j) \quad (9)$$

توابع زیر را می‌توان برای جدا سازی متغیرهای فضایی x, θ و متغیر زمانی t به کار برد. در این روابط n شماره مد محیطی و ω فرکانس ارتعاشات است:

$$\begin{aligned} u(x, \theta, t) &= u(x) \sin n\theta e^{i\omega t} \\ v(x, \theta, t) &= v(x) \cos n\theta e^{i\omega t} \\ w(x, \theta, t) &= w(x) \sin n\theta e^{i\omega t} \end{aligned} \quad (10)$$

اکنون متغیرهای بی‌بعد زیر را تعریف می‌کنیم:

$$Us_j = \frac{Es_j}{2} \int_0^L \left[As_j(x) \left(\frac{\partial us_j}{\partial x} \right)^2 + Iys_j(x) \left(\frac{\partial^2 ws_j}{\partial x^2} \right)^2 + Izs_j(x) \left(\frac{\partial^2 vs_j}{\partial x^2} \right)^2 \right] dx + \frac{Gs_j}{2R^2} \int_0^L Js_j(x) \left(\frac{\partial^2 ws_j}{\partial x \partial \theta} \right)^2 dx \quad (3)$$

همچنین انرژی جنبشی استرینگر زام با در نظر گرفتن اینرسی‌های انتقالی در سه جهت و اینرسی دورانی حول دو محور، عبارت است از:

$$Ts_j = \frac{1}{2} \rho s_j \int_0^L \left[As_j(x) \left[\left(\frac{\partial us_j}{\partial t} \right)^2 + \left(\frac{\partial vs_j}{\partial t} \right)^2 + \left(\frac{\partial ws_j}{\partial t} \right)^2 \right] + (Iys_j(x) + Izs_j(x)) \left(\frac{\partial^2 ws_j}{\partial t \partial x} \right)^2 \right] dx \quad (4)$$

پارامترهای سطح مقطع و ممان‌های سطح عبارتند از:

$$\begin{aligned} Iz_s_j(x) &= \frac{bs_j^3 ds_j(x)}{12}; \quad Iys_j(x) = \frac{bs_j ds_j^3(x)}{12} \\ As_j(x) &= bs_j ds_j(x) \\ Js_j(x) &= \frac{1}{3} \left[1 - \frac{192bs_j}{\pi^5 ds_j(x)} \sum_{n=1,3,\dots}^{\infty} \frac{1}{n^5} \tanh \frac{n\pi ds_j(x)}{2bs_j} \right] bs_j^3 ds_j(x) \end{aligned} \quad (5)$$

روابط هندسی موجود بین تغییر مکانهای مرکز سطح استرینگر زام (us_j, vs_j, ws_j) با تغییر مکانهای متناظر سطح میانی پوسته (u, v, w) به صورت زیر است:

$$\begin{aligned} us_j &= u + es_j(x) \frac{\partial w}{\partial x} \\ vs_j &= v \left(1 + \frac{es_j(x)}{R} \right) + \frac{es_j(x)}{R} \frac{\partial w}{\partial \theta} \\ ws_j &= w \end{aligned} \quad (6)$$

خارج از مرکزی هر استرینگر به صورت زیر تعریف می‌شود:

$$\begin{aligned} & \times (n^2 \bar{w} + n \xi \bar{v}) + 2(1-\nu) \alpha^2 \left[n \frac{d\bar{w}}{dx} + \frac{3}{4} \xi \frac{d\bar{v}}{dx} - \frac{n \xi}{4\alpha} \bar{u} \right]^2 \\ & - \Omega^2 \left[\xi^2 \bar{u}^2 + \xi^2 \bar{v}^2 + \bar{w}^2 \right] d\bar{x} \\ & + \sum_{j=1}^s \left[\frac{1-\nu^2}{\pi} \bar{E} s_j \alpha^2 \xi^2 [\bar{u} s_{1j} + \bar{u} s_{2j} + \bar{u} s_{3j} + \bar{u} s_{4j}] \right. \\ & \left. - \Omega^2 \frac{\bar{\rho} s_j}{\pi} \xi [\bar{u} s_{1j} + \bar{u} s_{2j} + \bar{u} s_{3j} + \bar{u} s_{4j}] \right] \end{aligned} \quad (12)$$

$$\begin{aligned} \bar{u} s_{1j} &= \bar{A} s_{m_j} \cdot \xi \int_0^{0.5} f_{1j}(\bar{x}) \\ & \times \left(\frac{d\bar{u}}{dx} + \alpha \frac{d\bar{e} s_j}{dx} \frac{d\bar{w}}{dx} + \alpha \bar{e} s_j \frac{d^2 \bar{w}}{dx^2} \right)^2 d\bar{x} \\ & + \int_{0.5}^1 f_{2j}(\bar{x}) \left(\frac{d\bar{u}}{dx} + \alpha \frac{d\bar{e} s_j}{dx} \frac{d\bar{w}}{dx} + \alpha \bar{e} s_j \frac{d^2 \bar{w}}{dx^2} \right)^2 d\bar{x} \end{aligned} \quad (1-12)$$

$$\begin{aligned} \bar{u} s_{2j} &= \bar{I} y s_{m_j} \times \left\{ \int_0^{0.5} f_{1j}^3(\bar{x}) \alpha^2 \left(\frac{d^2 \bar{w}}{dx^2} \right)^2 d\bar{x} \right. \\ & \left. + \int_{0.5}^1 f_{2j}^3(\bar{x}) \alpha^2 \left(\frac{d^2 \bar{w}}{dx^2} \right)^2 d\bar{x} \right\} \end{aligned} \quad (2-12)$$

$$\begin{aligned} \bar{u} s_{3j} &= \bar{I} z s_{m_j} \cdot \left\{ \int_0^{0.5} f_{1j}(\bar{x}) \left[(1 + \xi \bar{e} s_j) \alpha \xi \frac{d^2 \bar{v}}{dx^2} + 2\alpha^2 \xi^2 \right. \right. \\ & \times \frac{d\bar{e} s_j}{dx} \frac{d\bar{v}}{dx} + \alpha \xi^2 \frac{d^2 \bar{e} s_j}{dx^2} \bar{v} + 2\alpha n \xi \frac{d\bar{e} s_j}{dx} \frac{d\bar{w}}{dx} \\ & \left. + \alpha \xi n \bar{e} s_j \frac{d^2 \bar{w}}{dx^2} + \alpha \xi n \frac{d^2 \bar{e} s_j}{dx^2} \bar{w} \right]^2 d\bar{x} \\ & + \int_{0.5}^1 f_{2j}(\bar{x}) \left[(1 + \xi \bar{e} s_j) \alpha \xi \frac{d^2 \bar{v}}{dx^2} + 2\alpha^2 \xi^2 \right. \\ & \times \frac{d\bar{e} s_j}{dx} \frac{d\bar{v}}{dx} + \alpha \xi^2 \frac{d^2 \bar{e} s_j}{dx^2} \bar{v} + 2\alpha \xi n \frac{d\bar{e} s_j}{dx} \frac{d\bar{w}}{dx} \\ & \left. + \alpha \xi n \bar{e} s_j \frac{d^2 \bar{w}}{dx^2} + \alpha \xi n \frac{d^2 \bar{e} s_j}{dx^2} \bar{w} \right]^2 d\bar{x} \end{aligned} \quad (3-12)$$

$$\bar{u} = \frac{u}{h}; \bar{v} = \frac{v}{h}; \bar{w} = \frac{w}{R}; \bar{x} = \frac{x}{L}; \alpha = \frac{R}{L}; \xi = \frac{h}{R}$$

$$\bar{E} s_j = \frac{E s_j}{E}; \bar{\rho} s_j = \frac{\rho s_j}{\rho};$$

$$\bar{e} s_j(\bar{x}) = \frac{e s_j(x)}{h} = \begin{cases} (-1)^j 0.5 \left(1 + \frac{d_{1j}}{h} f_{1j}(\bar{x}) \right) \\ (-1)^j 0.5 \left(1 + \frac{d_{1j}}{h} f_{2j}(\bar{x}) \right) \end{cases}$$

$$f_{1j}(\bar{x}) = 1 + \frac{d_{2j}}{d_{1j}} \left(2(0.5 - \bar{x}) \right)^j \Leftrightarrow 0 \leq \bar{x} \leq 0.5$$

$$f_{2j}(\bar{x}) = 1 + \frac{d_{2j}}{d_{1j}} \left(2(\bar{x} - 0.5) \right)^j \Leftrightarrow 0.5 \leq \bar{x} \leq 1$$

$$\begin{cases} \Psi = 1 \text{ Int. Stringer} \\ \Psi = 2 \text{ Ext. Stringer} \end{cases}$$

$$\bar{I} z s_j(\bar{x}) = \frac{I z s_j(x)}{R h^3} = \bar{I} z s_{m_j} \cdot \begin{cases} f_{1j}(\bar{x}) \\ f_{2j}(\bar{x}) \end{cases}; \bar{I} z s_{m_j} = \frac{b s_j^3 d_{1j}}{12}$$

$$\bar{I} y s_j(\bar{x}) = \frac{I y s_j(x)}{R h^3} = \bar{I} y s_{m_j} \cdot \begin{cases} f_{1j}^3(\bar{x}) \\ f_{2j}^3(\bar{x}) \end{cases}; \bar{I} y s_{m_j} = \frac{b s_j d_{1j}^3}{12}$$

$$\bar{A} s_j(\bar{x}) = \frac{A s_j(x)}{h^2} = \bar{A} s_{m_j} \cdot \begin{cases} f_{1j}(\bar{x}) \\ f_{2j}(\bar{x}) \end{cases}; \bar{A} s_{m_j} = b s_j d_{1j}$$

$$\bar{J} s_j(\bar{x}) = \frac{J s_j(x)}{R h^3} = \bar{J} s_{m_j} \cdot \begin{cases} f_{1j}(\bar{x}) \\ f_{2j}(\bar{x}) \end{cases}$$

$$\bar{J} s_{m_j} = \frac{1}{3} \left[1 - \frac{192 b s_j}{\pi^5 d_{1j}} \sum_{n=1,3,5,\dots}^{\infty} \frac{1}{n^5} \tanh \frac{n \pi d_{1j}}{2 b s_j} \right] b s_j^3 d_{1j}$$

$$\bar{F} = \frac{2(1-\nu^2)}{\pi h R L E} e^{-2i\omega t} F; \Omega^2 = \frac{(1-\nu^2) \rho R^2}{E} \omega^2 \quad (11)$$

با جایگذاری روابط تغییر مکان تقویت کننده بر حسب مؤلفه های تغییر مکان سطح میانی پوسته و استفاده از پارامترهای بی بعد تعریف شده ، تابع انرژی بدون بعد کل مجموعه را به صورت زیر می توان نوشت:

$$\begin{aligned} \bar{F} &= \int_0^1 \left\{ \alpha^2 \xi^2 \left(\frac{d\bar{u}}{dx} \right)^2 + (\xi n \bar{v} + \bar{w})^2 \right. \\ & - 2\nu \alpha \xi \left(\frac{d\bar{u}}{dx} \right) (\xi n \bar{v} + \bar{w}) + \frac{1-\nu}{2} \xi^2 \left(\alpha \frac{d\bar{v}}{dx} + n \bar{u} \right)^2 \\ & \left. + \frac{\xi^2}{12} \left[\alpha^4 \left(\frac{d^2 \bar{w}}{dx^2} \right)^2 + (n^2 \bar{w} + n \xi \bar{v})^2 - 2\nu \alpha^2 \left(\frac{d^2 \bar{w}}{dx^2} \right) \right] \right\} d\bar{x} \end{aligned}$$

۲-۴- توابع ریتز

توابع تغییر مکان ریتز باید طوری باشند که شرایط مرزی بالا را ارضا نمایند. در حالت کلی این توابع را می‌توان به صورت چندجمله‌ای‌های خاصی به صورت زیر در نظر گرفت:

$$\begin{aligned} \bar{u} &= \left(\sum_{i=1}^M p_i \bar{x}^{i-1} \right) (\bar{x})^{P_u^0} (1-\bar{x})^{P_u^1} = \sum_{i=1}^M p_i \bar{u}_i \\ \bar{v} &= \left(\sum_{i=1}^M q_i \bar{x}^{i-1} \right) (\bar{x})^{P_v^0} (1-\bar{x})^{P_v^1} = \sum_{i=1}^M q_i \bar{v}_i \\ \bar{w} &= \left(\sum_{i=1}^M r_i \bar{x}^{i-1} \right) (\bar{x})^{P_w^0} (1-\bar{x})^{P_w^1} = \sum_{i=1}^M r_i \bar{w}_i \end{aligned} \quad (15)$$

توانهای مختلف P در جدول ۱ آورده شده است. شاخصهای P ، شامل 0,1 نشاندهنده دو انتهای پوسته در $\bar{x} = 0, \bar{x} = 1$ است. این شکل از توابع ریتز براحتی قابل مشتق‌گیری و انتگرالگیری بوده و با افزایش تعداد جملات سری (M) ، همگرایی تغییر مکانهای تقریبی بیشتر خواهد شد.

جدول ۱ توانهای مختلف P مربوط به توابع تغییر مکان

شرایط مرزی	S_1	S_2	S_3	S_4
P_u	۰	۰	۱	۱
P_v	۱	۰	۰	۱
P_w	۱	۱	۱	۱

۲-۵- معادلات حرکت

با استفاده از روش ریتز (کمینه‌سازی تابع انرژی نسبت به ضرایب توابع ریتز)، معادلات حرکت به دست می‌آیند. با حل این معادلات، فرکانسهای طبیعی و مدهای ارتعاشی به دست خواهند آمد:

$$\left. \begin{aligned} \frac{\partial \bar{F}}{\partial p_i} &= 0 \\ \frac{\partial \bar{F}}{\partial q_i} &= 0 \\ \frac{\partial \bar{F}}{\partial r_i} &= 0 \end{aligned} \right\} \quad i = 1, 2, \dots, M \quad (16)$$

$$\bar{U}_{S_{4j}} = \frac{n^2 J s m_j}{2(1 + \nu s_j)} \left\{ \int_0^{0.5} f_{1j}(\bar{x}) \left(\frac{d\bar{w}}{d\bar{x}} \right)^2 d\bar{x} + \int_0^{0.5} f_{2j}(\bar{x}) \left(\frac{d\bar{w}}{d\bar{x}} \right)^2 d\bar{x} \right\} \quad (4-12)$$

$$\begin{aligned} \bar{T}_{S_{1j}} &= \bar{A} s m_j \xi^2 \left\{ \int_0^{0.5} f_{1j}(\bar{x}) \left(\bar{u} + \alpha \bar{e} s_j \frac{d\bar{w}}{d\bar{x}} \right)^2 d\bar{x} + \int_0^{0.5} f_{2j}(\bar{x}) \left(\bar{u} + \alpha \bar{e} s_j \frac{d\bar{w}}{d\bar{x}} \right)^2 d\bar{x} \right\} \\ & \quad (5-12) \end{aligned}$$

$$\begin{aligned} \bar{T}_{S_{2j}} &= \bar{A} s m_j \cdot \left\{ \int_0^{0.5} f_{1j}(\bar{x}) [(1 + \xi \bar{e} s_j) \xi \bar{v} + \bar{e} s_j \xi \bar{w}]^2 d\bar{x} + \int_0^{0.5} f_{2j}(\bar{x}) [(1 + \xi \bar{e} s_j) \xi \bar{v} + \bar{e} s_j \xi \bar{w}]^2 d\bar{x} \right\} \\ & \quad (6-12) \end{aligned}$$

$$\bar{T}_{S_{3j}} = \bar{A} s m_j \cdot \left\{ \int_0^{0.5} f_{1j}(\bar{x}) \bar{w}^2 d\bar{x} + \int_0^{0.5} f_{2j}(\bar{x}) \bar{w}^2 d\bar{x} \right\} \quad (7-12)$$

$$\begin{aligned} \bar{T}_{S_{4j}} &= \bar{I} y s m_j \alpha^2 \xi^2 \left\{ \int_0^{0.5} f_{1j}^3(\bar{x}) \left(\frac{d\bar{w}}{d\bar{x}} \right)^2 d\bar{x} + \int_0^{0.5} f_{2j}^3(\bar{x}) \right. \\ & \quad \times \left. \left(\frac{d\bar{w}}{d\bar{x}} \right)^2 d\bar{x} \right\} + \bar{I} z s m_j \alpha^2 \xi^2 \left\{ \int_0^{0.5} f_{1j}(\bar{x}) \left(\frac{d\bar{w}}{d\bar{x}} \right)^2 d\bar{x} + \int_0^{0.5} f_{2j}(\bar{x}) \left(\frac{d\bar{w}}{d\bar{x}} \right)^2 d\bar{x} \right\} \\ & \quad (8-12) \end{aligned}$$

۲-۳- شرایط مرزی

برای پوسته استوانه‌ای با تکیه‌گاه ساده چهار نوع شرط مرزی را می‌توان بیان کرد:

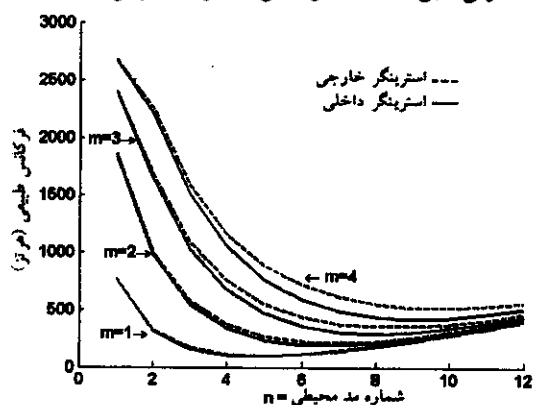
$$\begin{aligned} S_1 : \bar{w} = \bar{v} = 0 & \quad S_2 : \bar{w} = 0 \\ S_3 : \bar{w} = \bar{u} = 0 & \quad S_4 : \bar{w} = \bar{v} = \bar{u} = 0 \end{aligned} \quad (14)$$

جدول ۲ ابعاد هندسی و خواص سه مدل پوسته تقویت شده طولی

خصوصیات	ابعاد و مقادیر		
	مدل M1	مدل M2(a)	مدل M2(b)
S تعداد استرینگرها	۶۰	۴	۴
R (m) شعاع	۰/۲۴۲	۰/۱۹۴۵	۰/۱۹۴۵
h (m) ضخامت	۰/۰۰۰۶۵	۰/۰۰۰۴۶۴	۰/۰۰۰۴۶۴
L (m) طول	۰/۶۰۹۶	۰/۹۸۶۸	۰/۹۸۶۸
ds (m) ارتفاع استرینگرها	۰/۰۰۷۰۲	۰/۰۱۰۱	۰/۰۱۰۱
bs (m) عرض استرینگرها	۰/۰۰۲۵۵۴	۰/۰۰۱۰۴	۰/۰۰۱۰۴
E (Gpa) مدول الاستیسیته	۶۸۹۵	۲۰۰	۲۰۰
ρ (Kg/m ³) دانسیته	۲۷۱۴	۷۷۰	۷۷۰
ν نسبت پواسون	۰/۳	۰/۳	۰/۳
نوع تقویت	خارجی	داخلی	خارجی

۳-۲- اثر خارج از مرکزی یکنواخت و تعداد تقویت کننده‌ها

شکل ۲، تغییرات فرکانسهای طبیعی را بر حسب شماره مد محیطی n به ازای شماره مدهای طولی ۱، ۲، ۳، ۴ در دو حالت مختلف استرینگر بیرونی و داخلی، با ارتفاع یکنواخت برای مدل‌های M2(a,b) نشان می‌دهد. همانطور که می‌توان مشاهده کرد استرینگر خارجی فرکانسهای بالاتری را نسبت به استرینگر داخلی نتیجه می‌دهد. اما این اختلاف در مدهای پایین کم است و با افزایش شماره مد طولی، این اختلاف فرکانس بیشتر محسوس است.



شکل ۲ تغییرات فرکانسهای طبیعی بر حسب شماره مد محیطی

با جایگذاری روابط (۱۰) و (۱۱) و (۱۲) و (۱۵) در رابطه (۹) و جایگذاری آن در رابطه (۱۶)، ماتریس مشخصه سیستم به صورت زیر به دست می‌آید:

$$\left[[K] + \sum_{j=1}^S [Ks_j] - \Omega^2 \left([M] + \sum_{j=1}^S [Ms_j] \right) \right] \{C\} = \{0\} \quad (17)$$

در رابطه بالا $[M]$ و $[K]$ ماتریس جرم و ماتریس سختی پوسته، $[Ms_j]$ و $[Ks_j]$ ماتریس جرم و ماتریس سختی استرینگر زام است.

همچنین $\{C\} = \{p_1, \dots, p_M, q_1, \dots, q_M, r_1, \dots, r_M\}^T$ بردار ستونی ضرایب ریتز و $\Omega^2 = (1-\nu^2)\rho R^2 \omega^2 / E$ پارامتر فرکانسی بی بعد است.

۳- نتایج تحلیل

۳-۱- نتایج مربوط به پوسته با تقویت کننده طولی یکنواخت

در اینجا معادله (۱۷) که با استفاده از روش ریتز و توابع تغییر مکان پیشنهادی (۱۵) به دست آمده، برای سه مدل پوسته تقویت شده طولی مختلف M1 و M2(a,b) با تکیه گاه ساده از نوع S1-S1 حل شده است. ابعاد و خواص این سه مدل در جدول ۲ شده است. در این سه مدل، ارتفاع استرینگرها در طول پوسته ثابت و یکنواخت و فاصله بین آنها نیز یکسان است. جداول ۳ و ۴، مقایسه نتایج تحلیل مدل‌های M1 و M2(a) را با نتایج تجربی و تحلیلی موجود در مراجع دیگر نشان می‌دهد که مطابقت خوبی مشاهده می‌شود. همچنین با افزایش تعداد جملات تابع ریتز، همگرایی بهتری در نتایج قابل مشاهده است. با توجه به این نتایج، در نظر گرفتن ۶ جمله برای توابع تغییر مکان ریتز کافی است. بنابراین، روش به کار رفته برای محاسبه فرکانسهای طبیعی پوسته تقویت شده طولی از دقت خوبی برخوردار است.

برای مدل‌های M2(a,b)

جدول ۳ همگرایی و مقایسه فرکانسهای طبیعی با مراجع دیگر برای پوسته تقویت شده با ۶۰ استرینگر خارجی با خارج از مرکزی یکنواخت

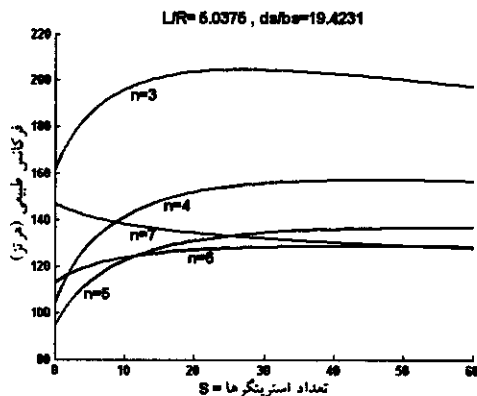
(مدل M1)

شماره مد	نتایج تحلیل - فرکانسهای طبیعی (هرتز)				مقادیر تجربی [۱]	درصد خطا %	مقادیر تحلیلی [۳]	مقادیر تحلیلی [۴]		
	m	n	تعداد جملات توابع ریتز M							
			۳	۴					۶	۸
۱	۱	۹۴۰/۹۹	۹۳۹/۴۱	۹۳۹/۳۹	۹۳۹/۳۹	---	-	۱۱۴۱	۱۱۴۷	
	۲	۵۸۷/۷۲	۵۸۱/۹۲	۵۸۱/۸۸	۵۸۱/۸۸	---	-	۶۷۴	۶۷۶	
	۳	۳۹۷/۷۵	۳۹۰/۳۷	۳۹۰/۳۲	۳۹۰/۳۲	---	-	۴۲۷	۴۲۹	
	۴	۲۹۲/۵۱	۲۸۵/۶۸	۲۸۵/۶۴	۲۸۵/۶۴	---	-	۲۹۶	۲۹۹	
	۵	۲۲۸/۲۳	۲۲۸/۰۰	۲۲۷/۹۶	۲۲۷/۹۶	۲۳۱	۱/۳	۲۲۵	۲۳۱	
	۶	۲۰۲/۵۱	۱۹۸/۳۶	۱۹۸/۳۲	۱۹۸/۳۲	۱۹۷	۰/۶۷	۱۸۸	۱۹۸	
	۷	۱۹۰/۲۶	۱۸۷/۲۸	۱۸۷/۲۵	۱۸۷/۲۵	۱۸۹	۰/۹۲	۱۷۴	۱۸۹	
	۸	۱۹۱/۴۹	۱۸۹/۲۳	۱۸۹/۴۱	۱۸۹/۴۱	۱۹۹	۴/۸	۱۷۷	۱۹۶	
	۹	۲۰۲/۷۶	۲۰۱/۳۶	۲۰۱/۳۴	۲۰۱/۳۴	۲۱۹	۸	۱۹۳	۲۱۴	
	۱۰	۲۲۱/۶۳	۲۲۰/۶۸	۲۲۰/۶۶	۲۲۰/۶۶	۲۵۲	۱۲/۴	۲۱۸	۲۴۱	
	۱۱	۲۴۶/۴۵	۲۴۵/۷۹	۲۴۵/۷۸	۲۴۵/۷۸	۲۹۰	۱۵	۲۵۰	---	
	۱۲	۲۷۶/۱۳	۲۷۵/۶۶	۲۷۵/۶۵	۲۷۵/۶۵	۳۳۶	۱۸	۲۸۸	---	

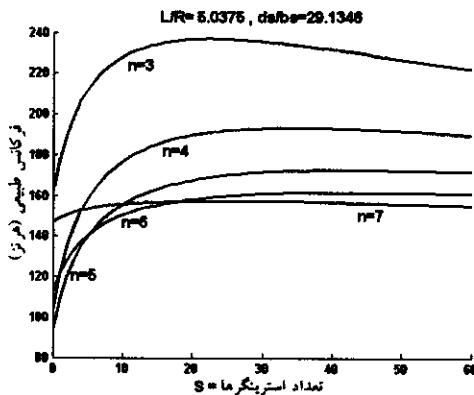
جدول ۴ همگرایی و مقایسه فرکانسهای طبیعی با مراجع دیگر برای پوسته تقویت شده با ۴ استرینگر داخلی با خارج از مرکزی یکنواخت

(مدل M2(a))

شماره مد	نتایج تحلیل - فرکانسهای طبیعی (هرتز)				مقادیر تجربی [۲]	درصد خطا %	مقادیر تحلیلی [۳]	مقادیر تحلیلی [۴]		
	m	n	تعداد جملات توابع ریتز M							
			۳	۴					۶	۸
۱	۱	۸۰۵/۶۸	۷۶۴/۰۰	۷۶۲/۸۸	۷۶۲/۸۸	---	-	۷۷۸	۷۷۷/۵	
	۲	۳۴۸/۸۲	۳۱۲/۴۸	۳۱۲/۴۱	۳۱۲/۴۱	---	-	۳۱۷	۳۱۶/۵	
	۳	۱۸۲/۶۹	۱۵۶/۳۵	۱۵۶/۳۱	۱۵۶/۳۱	۱۵۶	۰/۲	۱۵۹	۱۵۹	
	۴	۱۱۸/۵۱	۹۹/۰۷	۹۹/۰۴	۹۹/۰۴	۱۰۰	۰/۹۵	۹۹/۶	۱۰۱	
	۵	۱۰۱/۵۴	۸۸/۷۲	۸۸/۷۱	۸۸/۷۱	۸۹	۰/۳۲	۹۱/۵	۹۱	
	۶	۱۱۳/۴۱	۱۰۵/۸۶	۱۰۵/۸۶	۱۰۵/۸۶	۱۰۴	۱/۸	۱۰۶	۱۰۹	
	۷	۱۴۱/۹۶	۱۳۷/۲۷	۱۳۷/۲۷	۱۳۷/۲۷	۱۳۷	۰/۲	۱۴۲	۱۴۱	
	۸	۱۸۰/۴۹	۱۷۷/۱۰	۱۷۷/۱۰	۱۷۷/۱۰	۱۷۴	۱/۸	۱۷۸	۱۸۳	
	۹	۲۲۶/۲۹	۲۲۳/۴۲	۲۲۳/۴۲	۲۲۳/۴۲	۲۲۴	۰/۲۶	۲۳۱	۲۳۱	
	۱۰	۲۷۸/۳۴	۲۷۵/۵۷	۲۷۵/۵۷	۲۷۵/۵۷	۲۶۵	۳/۸	۲۷۷	۲۸۵	
	۱۱	۳۳۶/۲۰	۳۳۳/۳۲	۳۳۳/۳۲	۳۳۳/۳۲	۳۳۶	۰/۸	۳۴۵	---	
	۱۲	۳۹۹/۶۷	۳۹۶/۵۳	۳۹۶/۵۳	۳۹۶/۵۳	۳۹۶	۰/۱۳	۴۰۰	---	



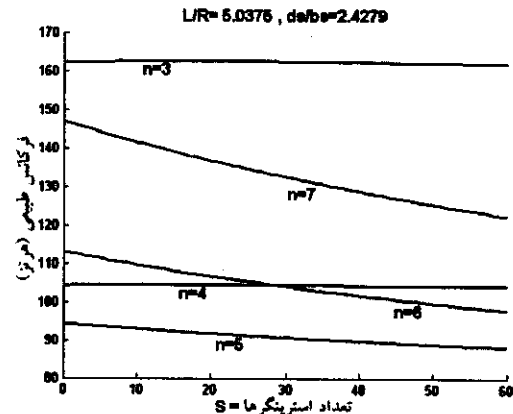
شکل ۵ تغییرات فرکانسهای طبیعی بر حسب تعداد تقویت کننده‌ها با خارج از مرکزی یکنواخت - حالت تقویت شده سنگین



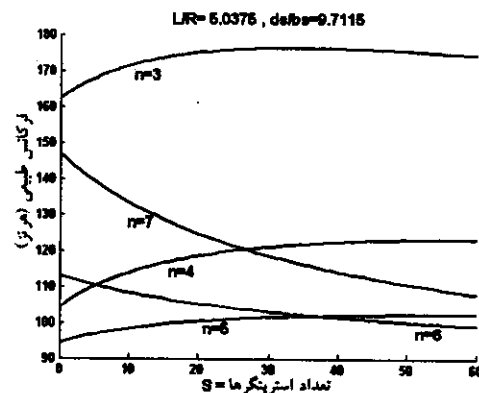
شکل ۶ تغییرات فرکانسهای طبیعی بر حسب تعداد تقویت کننده‌ها با خارج از مرکزی یکنواخت - حالت تقویت شده بسیار سنگین

تقویت کننده‌ها نرخ افزایش فرکانس‌ها کاهش می‌یابد و در برخی موارد نیز ثابت باقی می‌ماند. همچنین فرکانس پایه در محدوده‌های پایین S ، روندی افزایشی و بعد از محدوده‌ای، روند کاهشی دارد. این نوع رفتار ناشی از تغییر مد محیطی^۱ مربوط به فرکانس پایه است. همچنین می‌توان مشاهده کرد که با افزایش نسبت ارتفاع به عرض تقویت کننده‌ها، این تغییر مد در S های پایین‌تری رخ داده و تعداد دفعات آن نیز افزایش می‌یابد به طوری که برای شکل ۶ در طی سه مرحله، فرکانس پایه از مد $n=5$ به $n=6$ و سپس به مد $n=7$ انتقال می‌یابد.

شکل‌های ۳ تا ۶، اثر تعداد تقویت کننده‌ها را بر تغییرات فرکانسهای طبیعی برای مدل $M2(b)$ برای حالت‌های تقویت شده بسیار سبک (ds/b بسیار کوچک)، سبک، سنگین و خیلی سنگین نشان می‌دهند. قابل ذکر است که برای این مدل پوسته، مقادیر تعداد تقویت کننده‌ها و ارتفاع آنها مطابق جدول ۲ بوده و بقیه خصوصیات مطابق جدول است. برای نسبت ds/b های مختلف، عرض تقویت کننده‌ها ثابت و ارتفاع آنها تغییر داده شده است. در این شکل‌ها مشاهده می‌شود که با افزایش تعداد تقویت کننده‌ها، فرکانس بعضی از مدهای محیطی افزایش و برخی دیگر کاهش می‌یابند. اما با افزایش تعداد

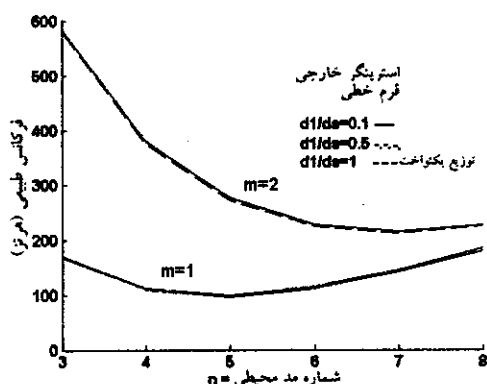


شکل ۳ تغییرات فرکانسهای طبیعی بر حسب تعداد تقویت کننده‌ها با خارج از مرکزی یکنواخت - حالت تقویت شده بسیار سبک



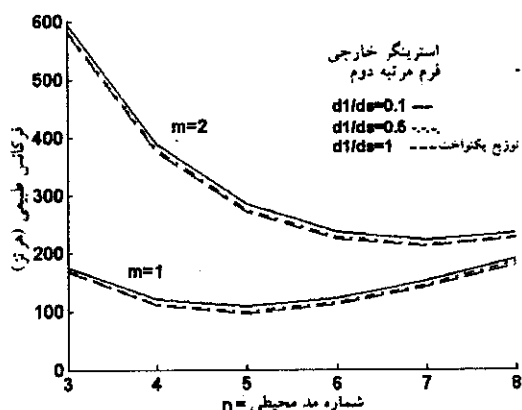
شکل ۴ تغییرات فرکانسهای طبیعی بر حسب تعداد تقویت کننده‌ها با خارج از مرکزی یکنواخت - حالت تقویت شده سبک

1. Mode Switching

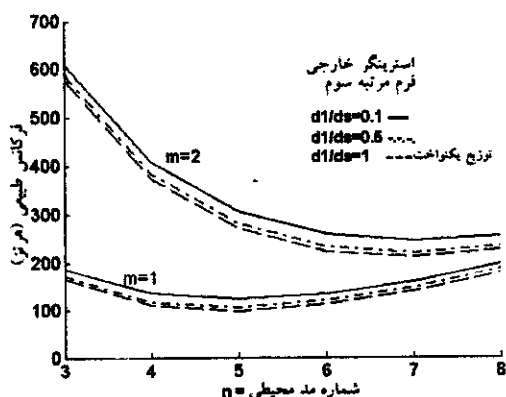


شکل ۷ تغییرات فرکانسهای طبیعی بر حسب شماره مد محیطی برای توزیع خطی خارج از مرکزی

شکلهای ۸ و ۹، همین نتایج را برای دو نوع توزیع مرتبه دوم و سوم نشان می‌دهند. با افزایش مرتبه تابع (Γ) ، توزیع جرم تقویت‌کننده‌ها در قسمت میانی کاهش و در دو انتها افزایش می‌یابد و افزایش فرکانسها محسوستر



شکل ۸ تغییرات فرکانسهای طبیعی بر حسب شماره مد محیطی برای توزیع مرتبه دوم خارج از مرکزی



شکل ۹ تغییرات فرکانسهای طبیعی بر حسب شماره مد محیطی برای توزیع مرتبه سوم خارج از مرکزی

۳-۳- اثر خارج از مرکزی با توزیع غیریکنواخت

در این بخش، اثر خارج از مرکزی با توزیع غیر یکنواخت بررسی می‌شود. هدف از این بررسی، پاسخ به این سؤال است که آیا با استفاده از حجم و جرم ثابت برای استرینگرها، می‌توان به فرکانسهای بالاتری دست یافت؟ برای این منظور دو مدل اولیه M1 و M2(b) در نظر گرفته می‌شود (جدول ۲). برای توزیع غیر یکنواخت ارتفاع استرینگرها، سه نوع توزیع خطی، توزیع مرتبه دوم و مرتبه سوم در نظر گرفته می‌شود ($\Gamma=1, 2, 3$) اما عرض آنها ثابت و یکنواخت و تعداد آنها نیز مانند جدول ۲ است. برای این سه نوع توزیع، حداکثر و حداقل ارتفاع استرینگرها طوری در نظر گرفته می‌شود که حجم و جرم مورد استفاده برای استرینگرها با حجم و جرم اولیه موجود در جدول ۲ یکسان باشد. برای حجم استرینگر زام می‌توان نوشت:

$$V_{uniform} = A_{uniform} L = b s_j d_s r_j L \quad (18-1)$$

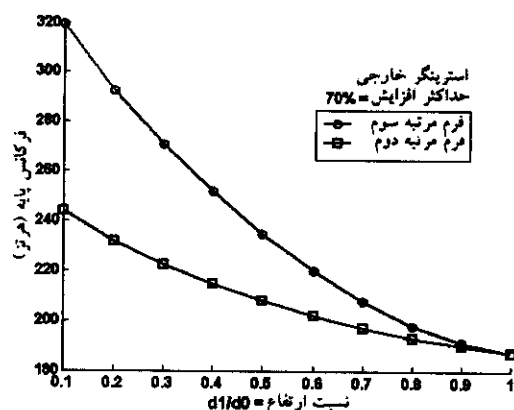
$$V_{non-uniform} = \int_0^L A(x) dx = b s_j \int_0^L d_s r_j(x) dx \quad (18-2)$$

$$V_{non-uniform} = V_{uniform} \Rightarrow b s_j \int_0^L d_s r_j(x) dx = b s_j d_s r_j L \quad (18-3)$$

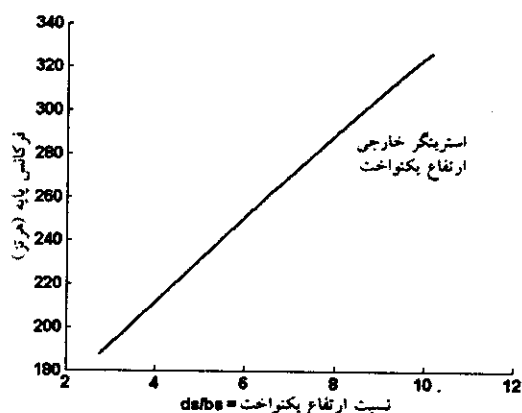
باتوجه به رابطه (۸) و انتخاب حداقل ارتفاع در وسط پوسته (d_{1j})، نسبت به ارتفاع اولیه حالت یکنواخت (d_s)، حداکثر ارتفاع در دو انتهای پوسته نسبت به حداقل ارتفاع در وسط پوسته به صورت زیر قابل محاسبه است:

$$d_{2j} = (\Gamma + 1)(d_s r_j - d_{1j}) \quad (19)$$

شکل ۷، نتایج این تحلیل را برای توزیع خطی بر حسب مدهای محیطی مختلف n برای مدهای طولی $m=1, 2$ ، به‌زای سه مقدار نسبت حداقل ارتفاع در وسط پوسته به ارتفاع حالت یکنواخت (d_1/d_s) نشان می‌دهد (برای مدل M2(b)). همانطور که مشاهده می‌شود با کاهش این نسبت، فرکانسهای طبیعی افزایش می‌یابند. در $m=2$ افزایش فرکانسها بیشتر محسوس است.



شکل ۱۱ تغییرات فرکانس پایه مدل M1 برای دو نوع توزیع خارج از مرکزی غیر یکنواخت

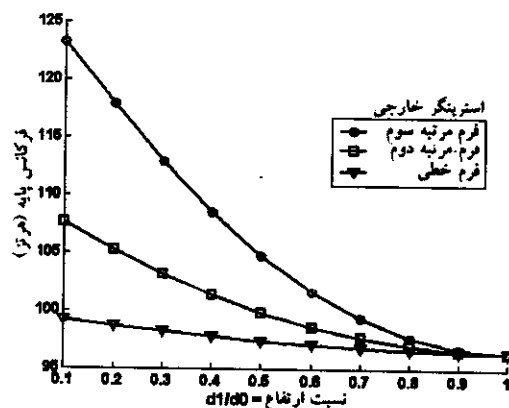


شکل ۱۲ تغییرات فرکانس پایه مدل M1 با خارج از مرکزی یکنواخت

۴- نتیجه گیری

در این تحقیق نشان داده شد که برای پوسته تقویت شده طولی با شرایط مرزی تکیه گاه ساده از نوع S1-S1، اثر استرینگر خارجی در افزایش فرکانسهای طبیعی، بیش از استرینگر داخلی است. همچنین افزایش تعداد یا ارتفاع تقویت کننده‌ها، مستلماً موجب افزایش فرکانسهای طبیعی نشده و حتی موجب تغییر مد فرکانس پایه و کاهش ناگهانی آن می‌شود. از دیگر نتایج مهم این تحقیق می‌توان به اثر ارتفاع غیر یکنواخت استرینگرها در افزایش فرکانسهای طبیعی اشاره کرد یعنی این که با ثابت نگه داشتن حجم و جرم استرینگرها نسبت به حالت توزیع

است. شکل ۱۰، تغییرات فرکانس پایه بر حسب نسبت ارتفاع (d_1/d_0) را برای سه نوع توزیع ذکر شده نشان می‌دهد. همانطور که مشاهده می‌شود با کاهش نسبت ارتفاع و افزایش مرتبه تابع توزیع ارتفاع، توزیع جرم تقویت کننده‌ها در طول میانی کاهش و در دو انتهای پوسته افزایش می‌یابد و فرکانس پایه نیز افزایش می‌یابد به طوری که حداکثر فرکانس پایه برای توزیع مرتبه سوم و به ازای کمترین نسبت ارتفاع ایجاد می‌شود که مقدار آن ۲۷/۸ درصد بیش از فرکانس پایه حالت یکنواخت است. شکل ۱۱، نتایج تغییرات فرکانس پایه را برای مدل M1 نشان می‌دهد. برای این مدل، فرکانس پایه به اندازه ۷۰ درصد حالت توزیع یکنواخت افزایش می‌یابد. شکل ۱۲، تغییرات فرکانس پایه مدل M1 را بر حسب نسبت ارتفاع به عرض تقویت کننده (d_1/d_0) - برای توزیع ارتفاع یکنواخت - نشان می‌دهد. در این شکل مشاهده می‌شود که برای رسیدن به افزایش ۷۰ درصدی در فرکانس پایه - مانند شکل ۱۱ - لازم است نسبت (d_1/d_0) به اندازه ۳/۵ برابر مقدار اولیه موجود در جدول ۲ افزایش یابد که این موجب افزایش جرم کل سازه به اندازه ۱۲۵ درصد می‌شود، حال آنکه با توزیع مناسب ارتفاع، بدون افزایش جرم می‌توان به چنین مقادیری از فرکانسهای طبیعی خصوصاً فرکانس پایه دست یافت.



شکل ۱۰ تغییرات فرکانس پایه مدل M2(b) برای سه نوع توزیع خارج از مرکزی غیر یکنواخت

- [2] Rinehart, S. A.; Wang, J. T. S.; "Vibration of Simply Supported Cylindrical Shells with Longitudinal Stiffeners"; *Journal of Sound and Vibration*; Vol. 24; No. 2; 1972; pp. 151-163.
- [3] Mustafa, B. A. J.; Ali, R.; "An Energy Method for Free Vibration Analysis of Stiffened Circular Cylindrical Shells"; *Computer & Structures*; Vol. 32; No. 2; 1989; pp. 335-363.
- [4] Zhao, X.; Liew, K. M.; Ng, T. Y.; "Vibration of Rotating Cross-Ply Laminated Circular Cylindrical Shells with Stringer and Ring Stiffeners"; *Int. J. of Solids and Str.*; Vol. 39; 2002; pp. 529-545.
- [5] Wang, C. M.; Swaddiwudhipong, S.; Tian, J.; "Ritz Method for Vibration Analysis of Cylindrical Shells with Ring Stiffeners"; *J. of Eng. Mech.*; Feb. 1997; pp. 134-142.
- [6] Sanders, J. L.; "An Improved First-Approximation Theory for Thin Shells"; *NASA TR R-24*; Nat. Aeronautics and Space Admin.; Washington D.C. 1959.

یکنواخت موجود در جدول ۲، فرکانس پایه به‌اندازه ۲۷/۸ درصد و ۷۰ درصد برای مدل‌های M1 و M2(b) افزایش یافت. حال آنکه برای رسیدن به چنین افزایشی در فرکانس پایه برای مدل M1، وزن سازه تا ۱۲۵٪ باید افزایش یابد.

در این مقاله مزایای استفاده از ارتفاع غیر یکنواخت برای تقویت‌کننده طولی بیان شد. به بیان دیگر با طراحی مناسب چگونگی تغییر ارتفاع تقویت‌کننده‌ها در طول پوسته، به ازای جرم ثابت تقویت‌کننده‌ها - در مقایسه با حالت ارتفاع یکنواخت - امکان دستیابی به فرکانسهای طبیعی بالاتری مشاهده شد و حتی می‌توان در طی فرایند بهینه‌سازی، بهترین ترکیب تقویت‌کننده‌ها را با در نظر گرفتن تعداد و ابعاد و چگونگی توزیع ارتفاع تقویت‌کننده‌ها، تعیین کرد.

۵- منابع

- [1] Egle, D. M.; Sewall, J. L.; "Analysis of Free Vibration of Orthogonally Stiffened Cylindrical Shells with Stiffeners Treated as Discrete Elements"; *AIAA Journal*; Vol. 6; No.3; March 1968; pp. 518-526.